

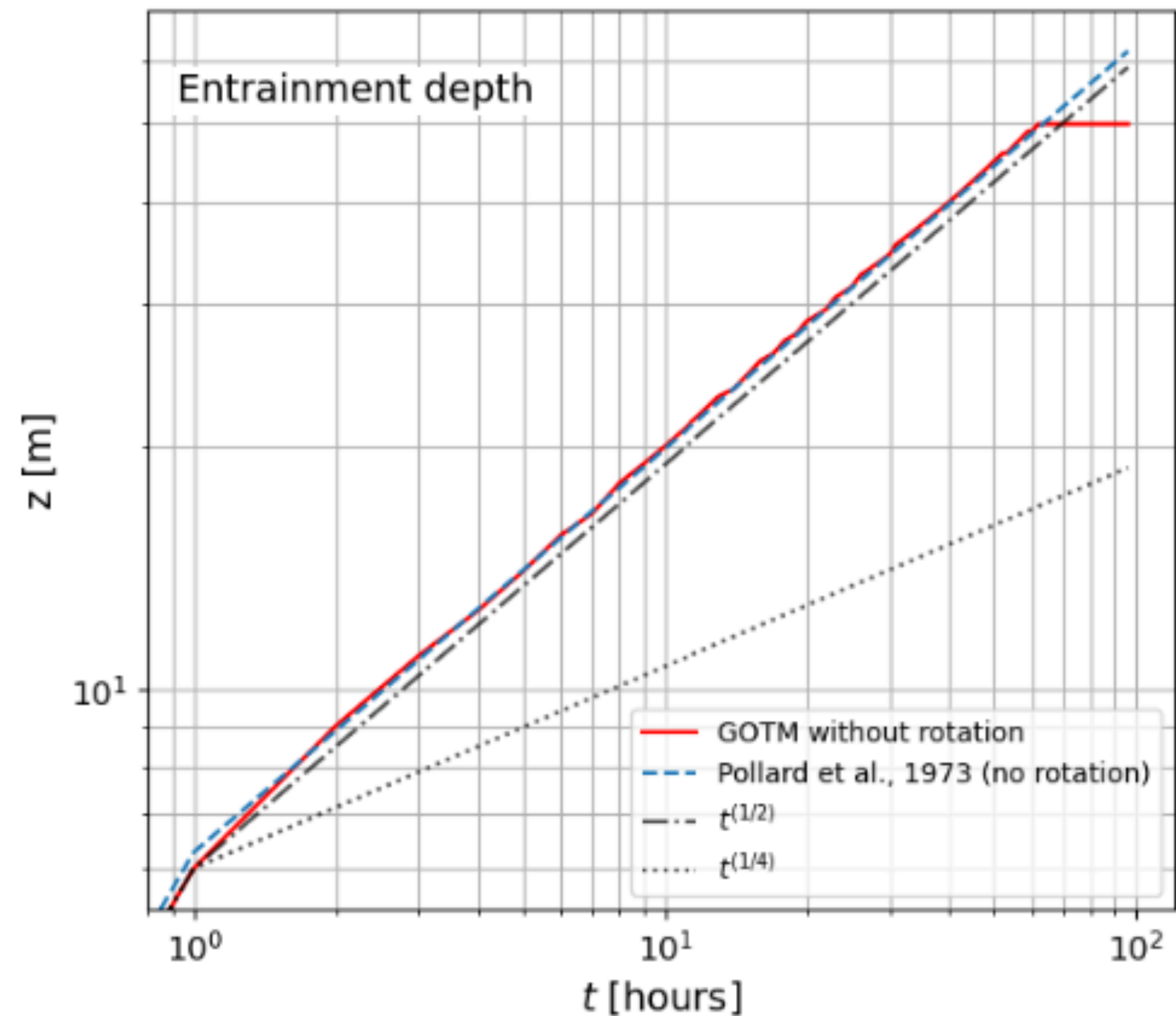
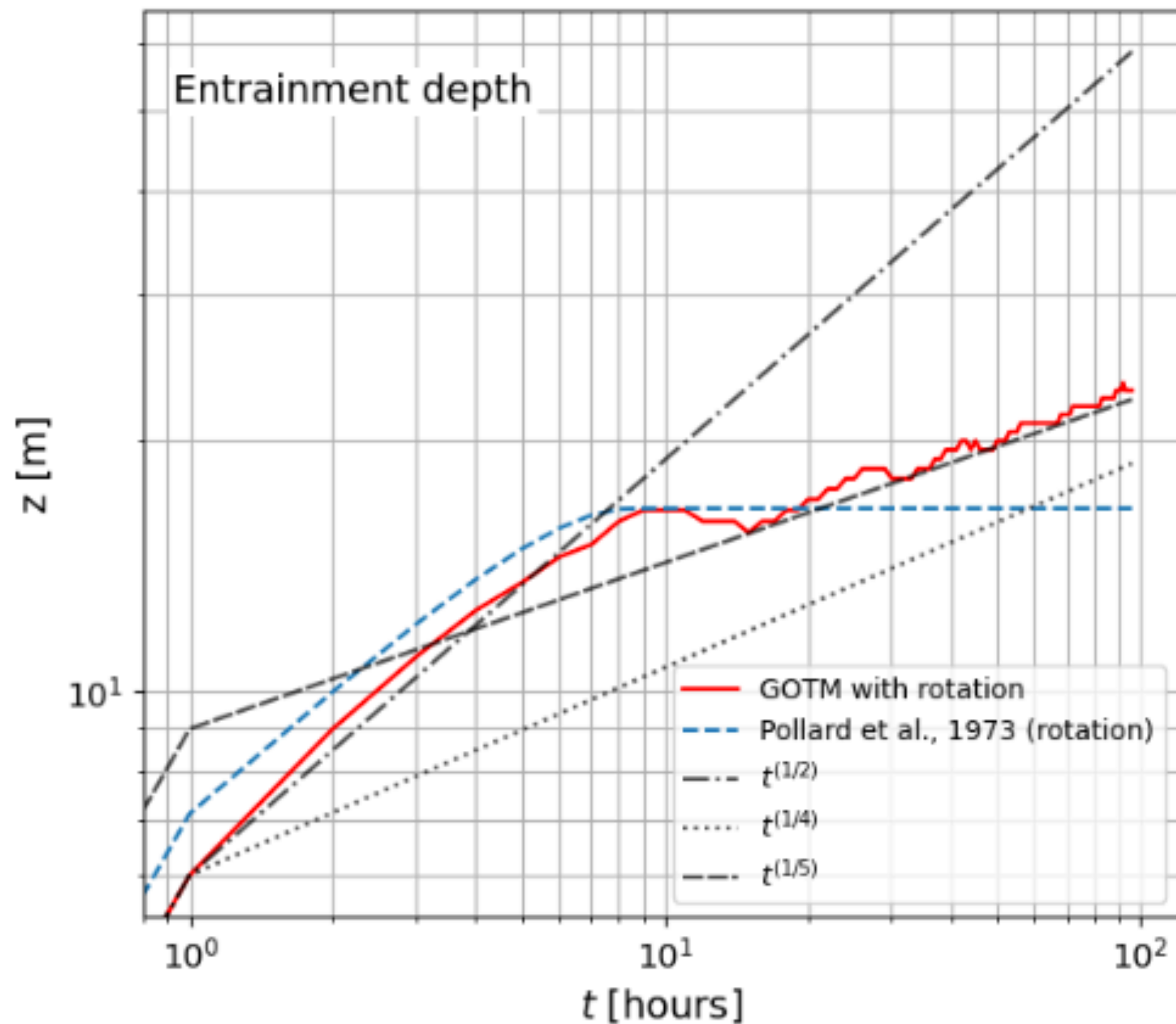
# **Scaling - Mixed layer depth forced by wind shear stress in rotation**

**Reunion LEGI - 5/12/2023**

# Context

Il existe une loi d'échelle qui prédit l'approfondissement sans rotation (Pollard)

Avec rotation: La loi d'échelle prévoit une épaisseur constante au de la période inertiel

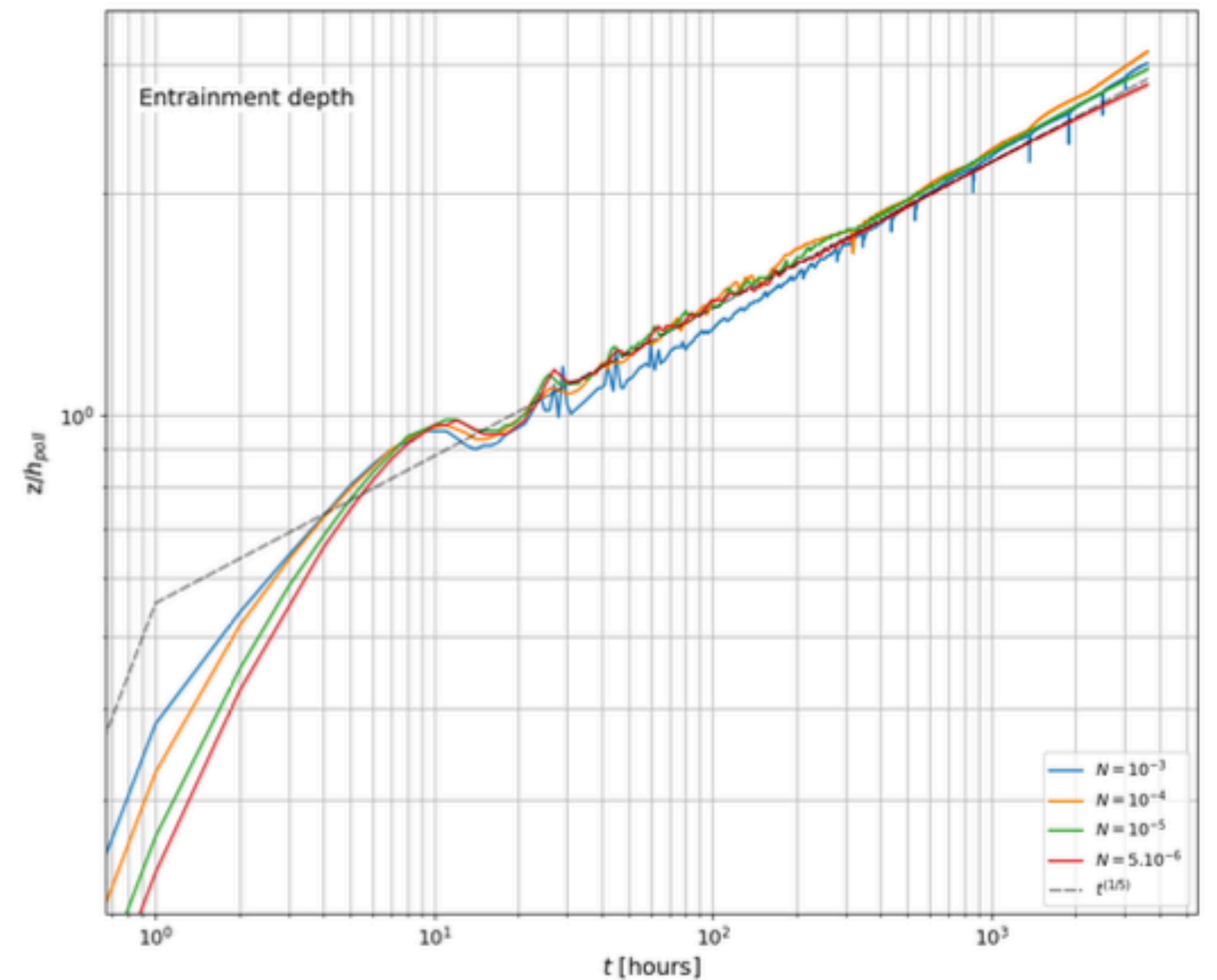
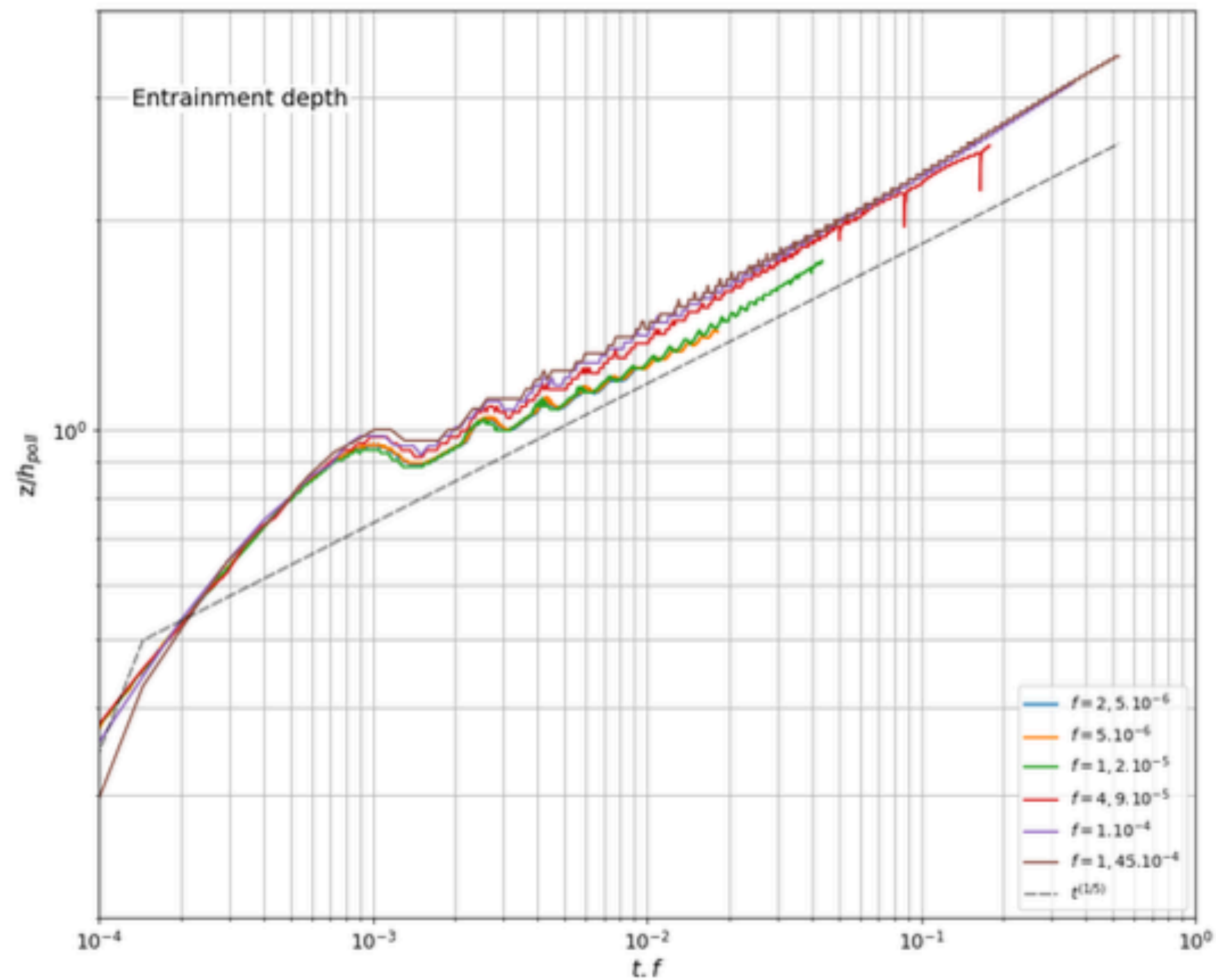


# Loi d'échelle au-delà de période inertielle :

- Pollard [1972]
$$h(t) = h_{max} = 1.7 \left( \frac{u_*}{\sqrt{Nf}} \right) \quad \text{Pour } t > \pi f$$
- Ushijima et al [2020]
$$h = 1.5 L_{p73} \left( \frac{f}{N} \right)^{-2.2 \times 10^{-2}} \left( \frac{t}{T_f} \right)^{0.18}$$

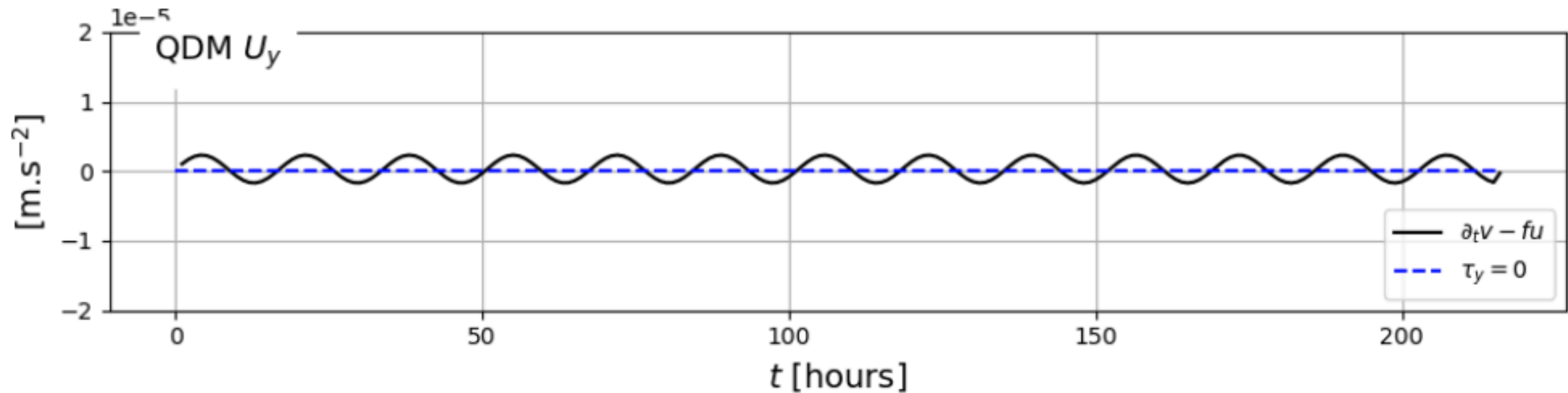
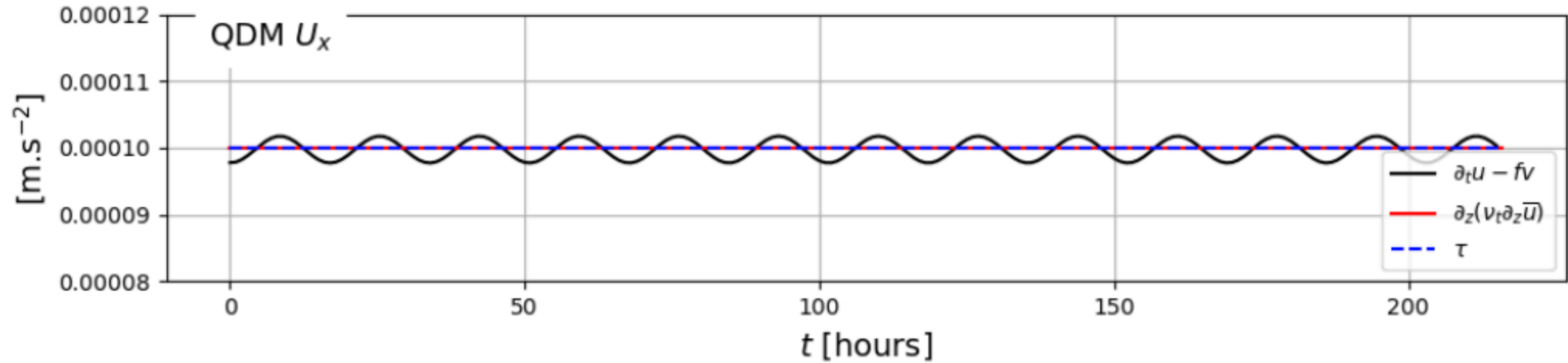
Cette étude -> LES => n'avance pas d'argument physique

# On cherche une loi en $t^{1/5}$



# Bilan de QDM

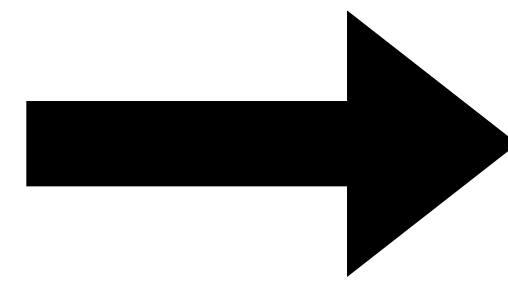
$$\begin{cases} \frac{\partial \bar{u}}{\partial t} - f\bar{v} = \frac{\partial}{\partial z} \left( \nu_t \frac{\partial \bar{u}}{\partial z} \right) \\ \frac{\partial \bar{v}}{\partial t} + f\bar{u} = \frac{\partial}{\partial z} \left( \nu_t \frac{\partial \bar{v}}{\partial z} \right) \end{cases}$$



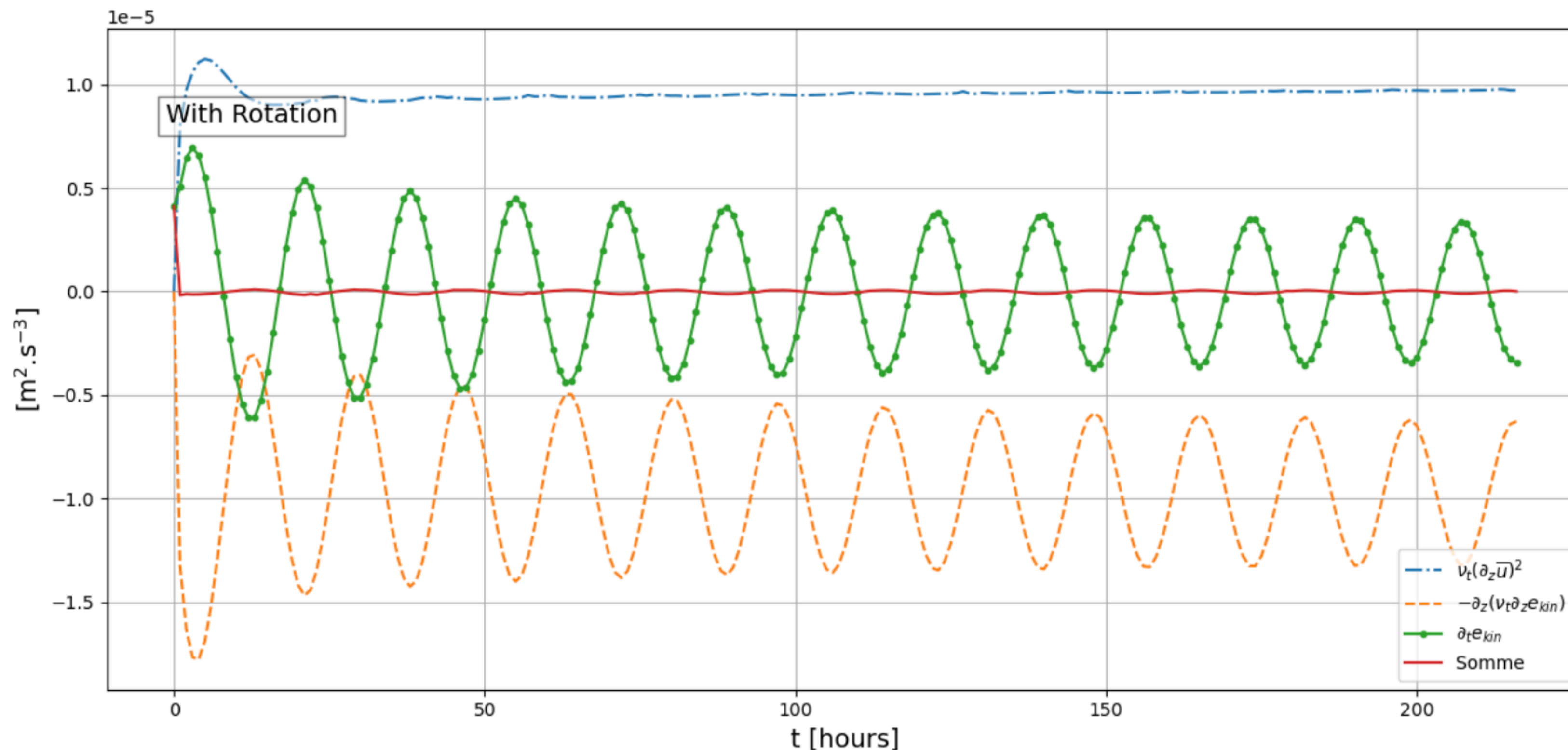


# Bilan d'énergie cinétique

$$\begin{cases} \frac{\partial}{\partial t}(\frac{1}{2}u^2) - fuv - \frac{\partial}{\partial z} \left( \nu_t u \frac{\partial u}{\partial z} \right) = \nu_t \left( \frac{\partial u}{\partial z} \right)^2 \\ \frac{\partial}{\partial t}(\frac{1}{2}v^2) + fuv - \frac{\partial}{\partial z} \left( \nu_t v \frac{\partial v}{\partial z} \right) = \nu_t \left( \frac{\partial v}{\partial z} \right)^2 \end{cases}$$

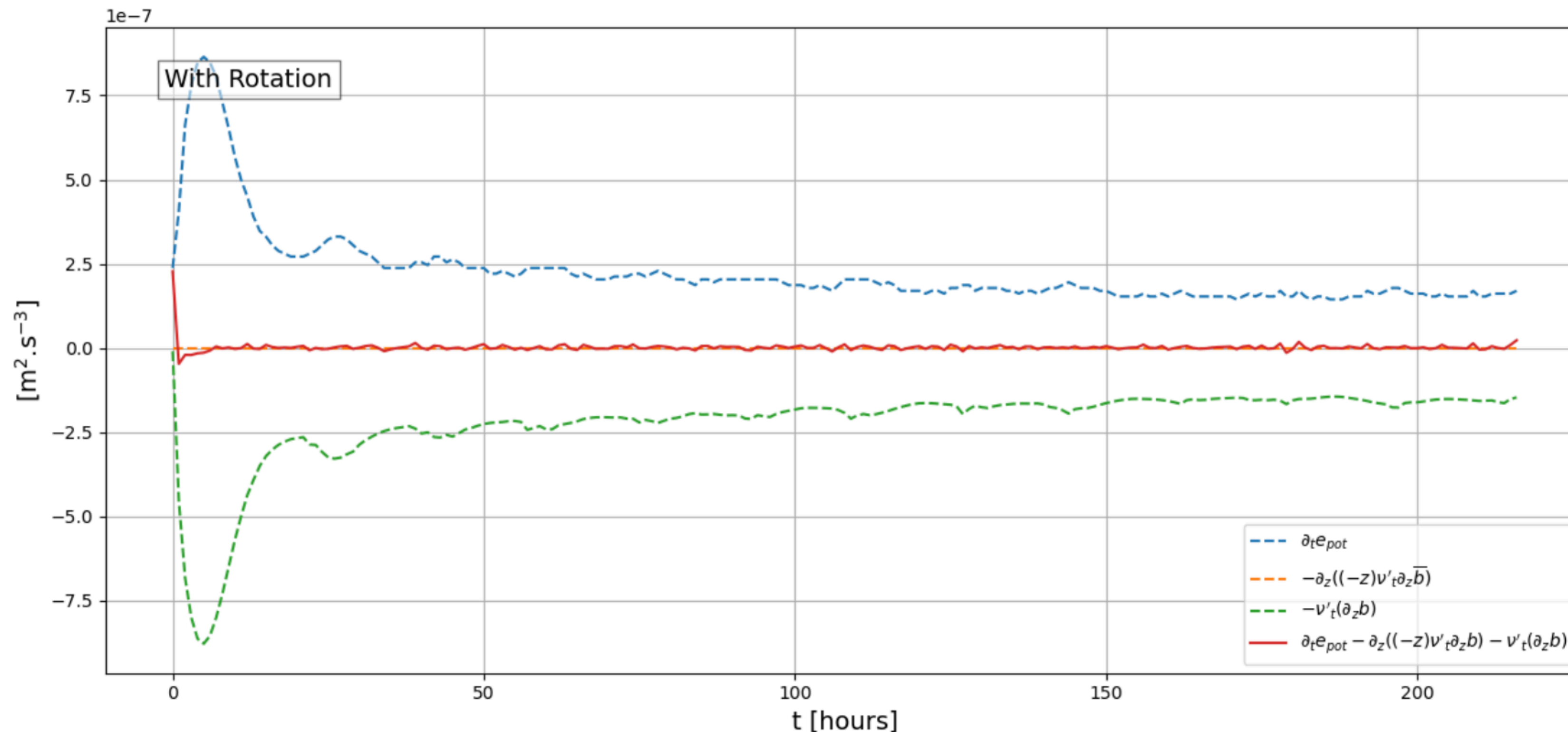


$$\frac{\partial}{\partial t}(E_{kin}) - \langle \mathbf{U}_{surf} \cdot \boldsymbol{\tau} \rangle = -P$$



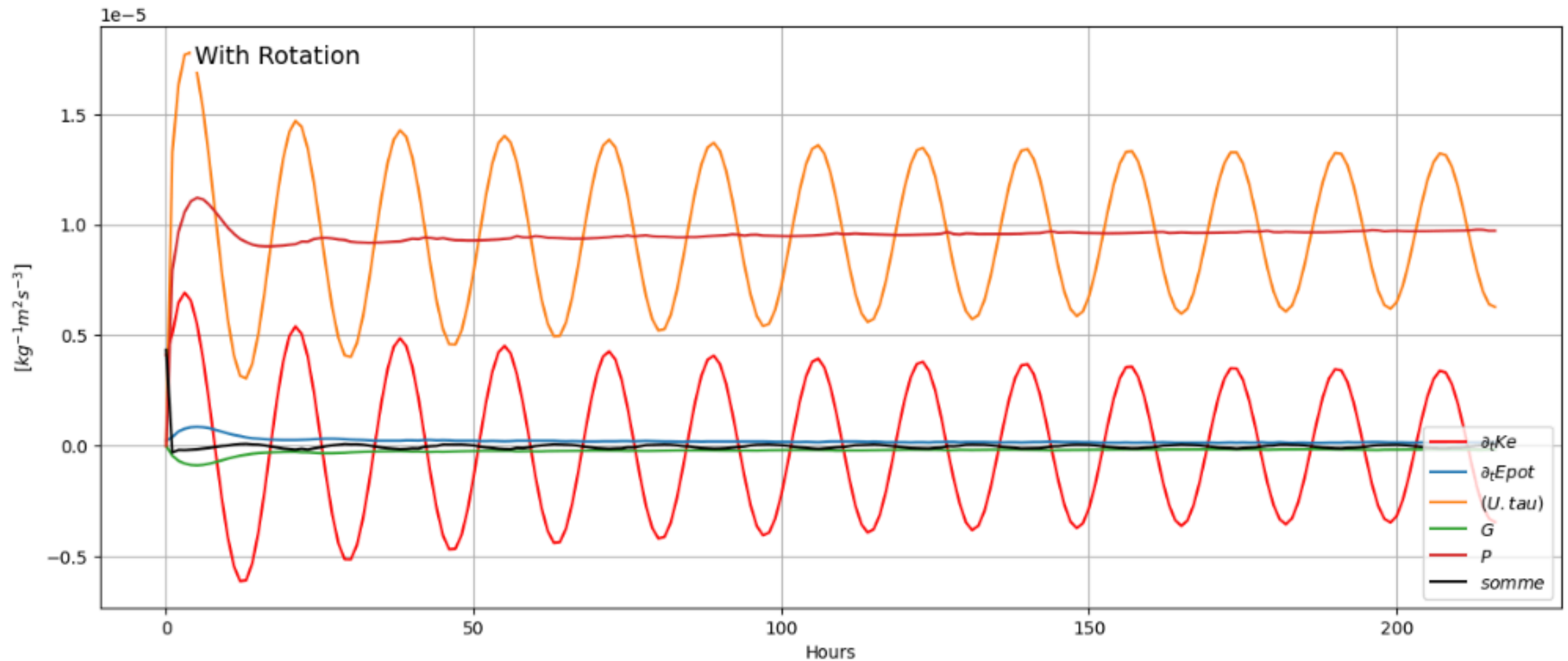
# Bilan d'énergie Potentiel

$$\frac{\partial E_{pot}}{\partial t} - \int_{-H}^0 d \left( (-z) \nu'_t \frac{\partial b}{\partial z} \right) = \int_{-H}^0 \nu'_t \frac{\partial b}{\partial z} dz = -B \quad \longrightarrow \quad \boxed{\frac{\partial}{\partial t}(E_{pot}) = -B}$$



# Bilan TKE

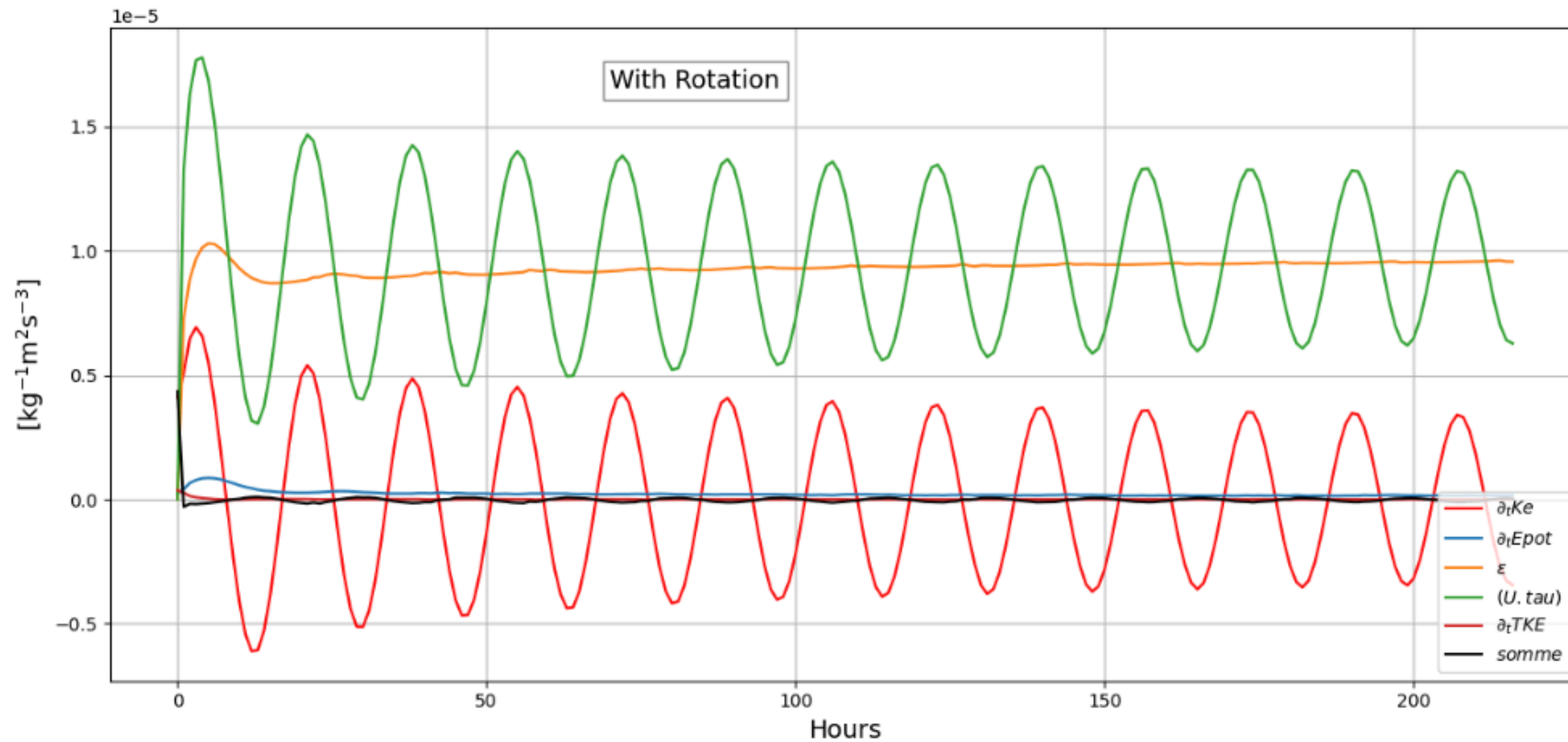
$$\frac{\partial}{\partial t}(TKE) = P + B - \int_{-H}^0 \epsilon dz$$





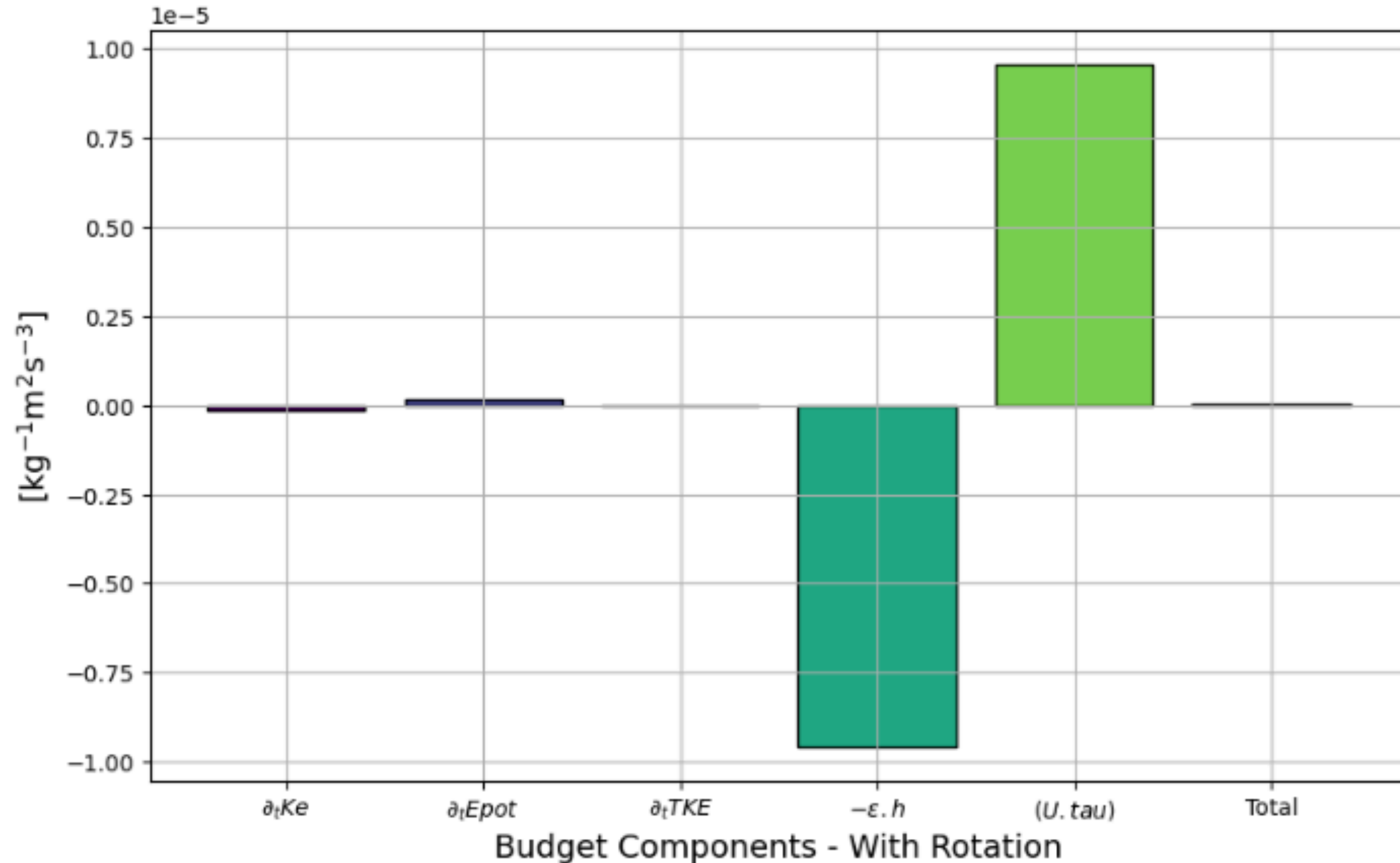
# Bilan d'énergie

$$\frac{\partial}{\partial t}(E_{kin}) + \frac{\partial}{\partial t}(E_{pot}) + \frac{\partial}{\partial t}(TKE) = +\langle \mathbf{U}_{surf} \cdot \boldsymbol{\tau} \rangle - \int_{-H}^0 \epsilon dz$$



# Bilan d'énergie

$$\frac{\partial}{\partial t}(E_{kin}) + \frac{\partial}{\partial t}(E_{pot}) + \frac{\partial}{\partial t}(TKE) = +\langle \mathbf{U}_{surf} \cdot \boldsymbol{\tau} \rangle - \int_{-H}^0 \epsilon dz$$



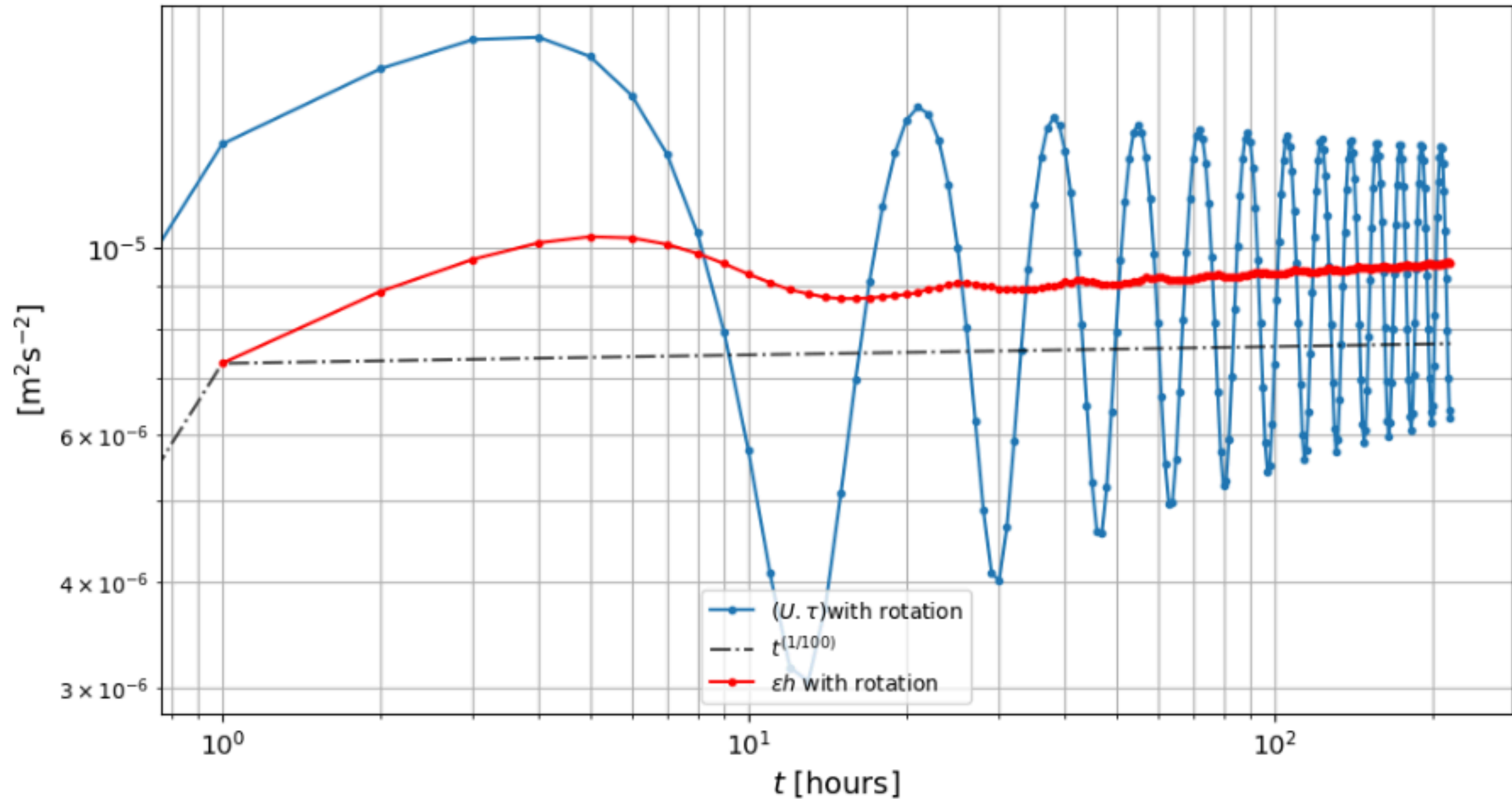
# 3 hypotheses

Hypothèse 1 :  $\langle U.u_*^2 \rangle \propto \epsilon h = c$

Hypothèse 2 :  $Ep_b \propto h^3 N^2$

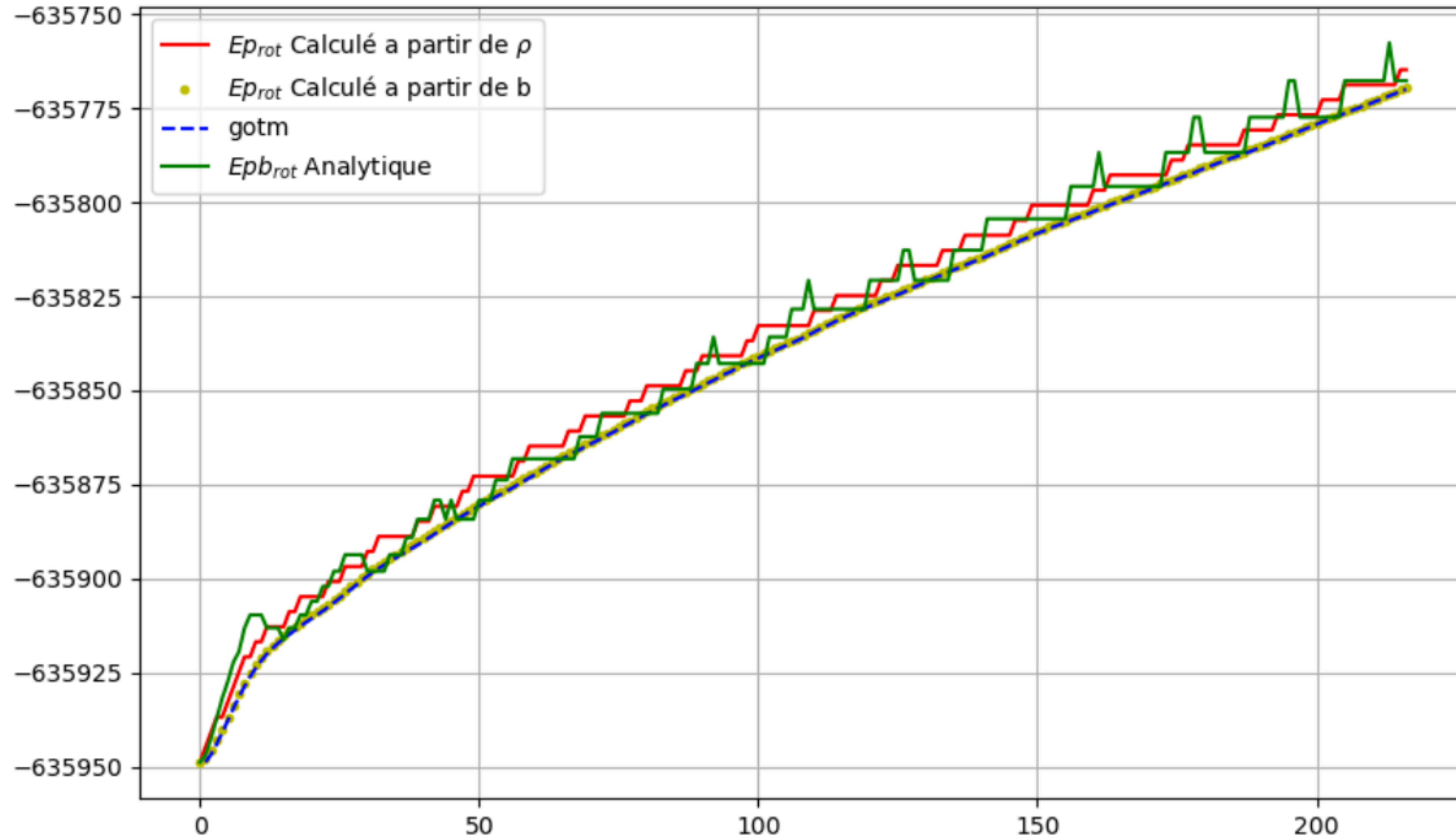
Hypothèse 3 :  $\frac{dEp_b}{dt} = \Gamma \epsilon_{interface} h$

# Hypothèse 1 : $\langle U.u_*^2 \rangle \propto \epsilon h = c$

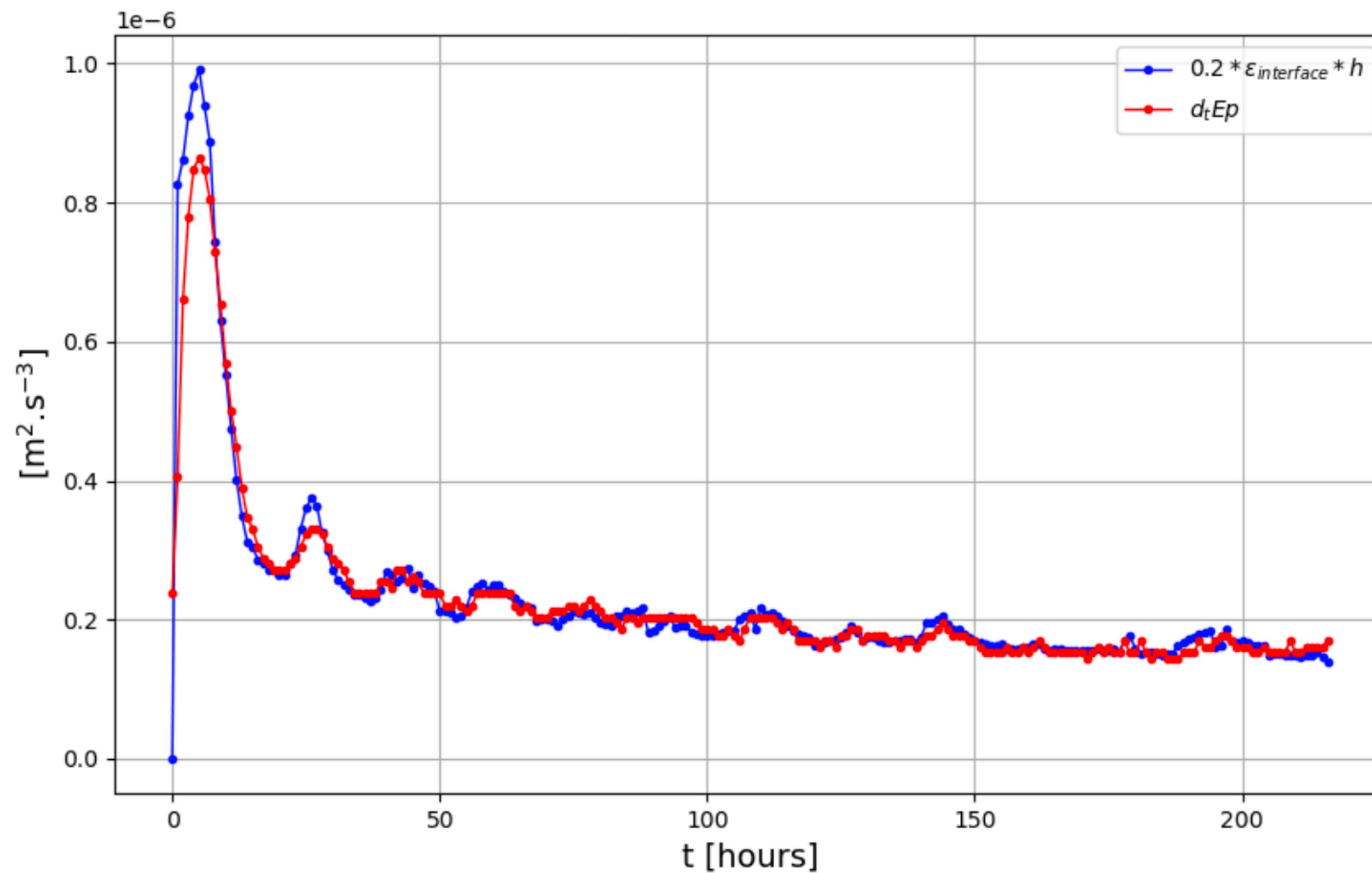




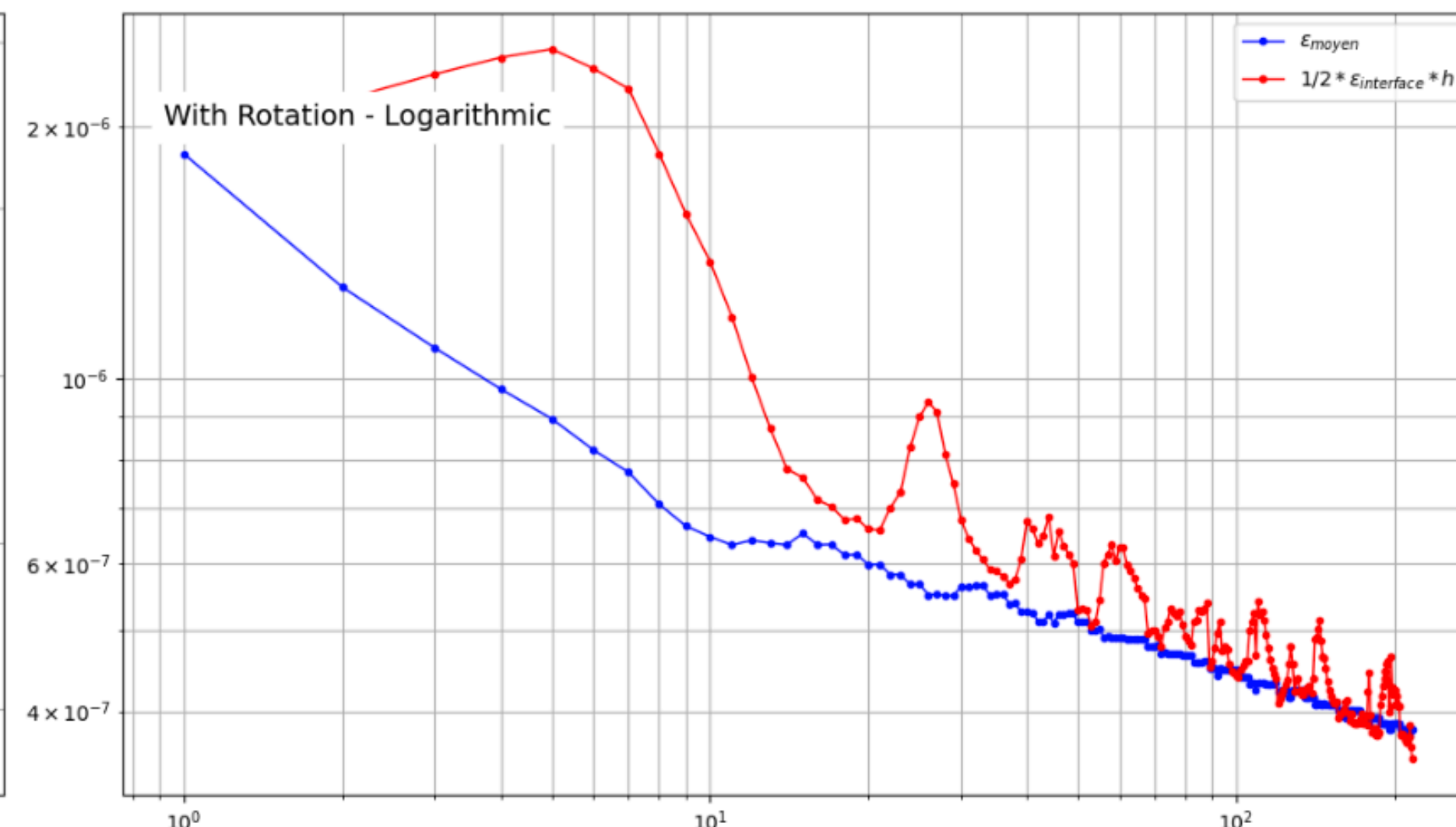
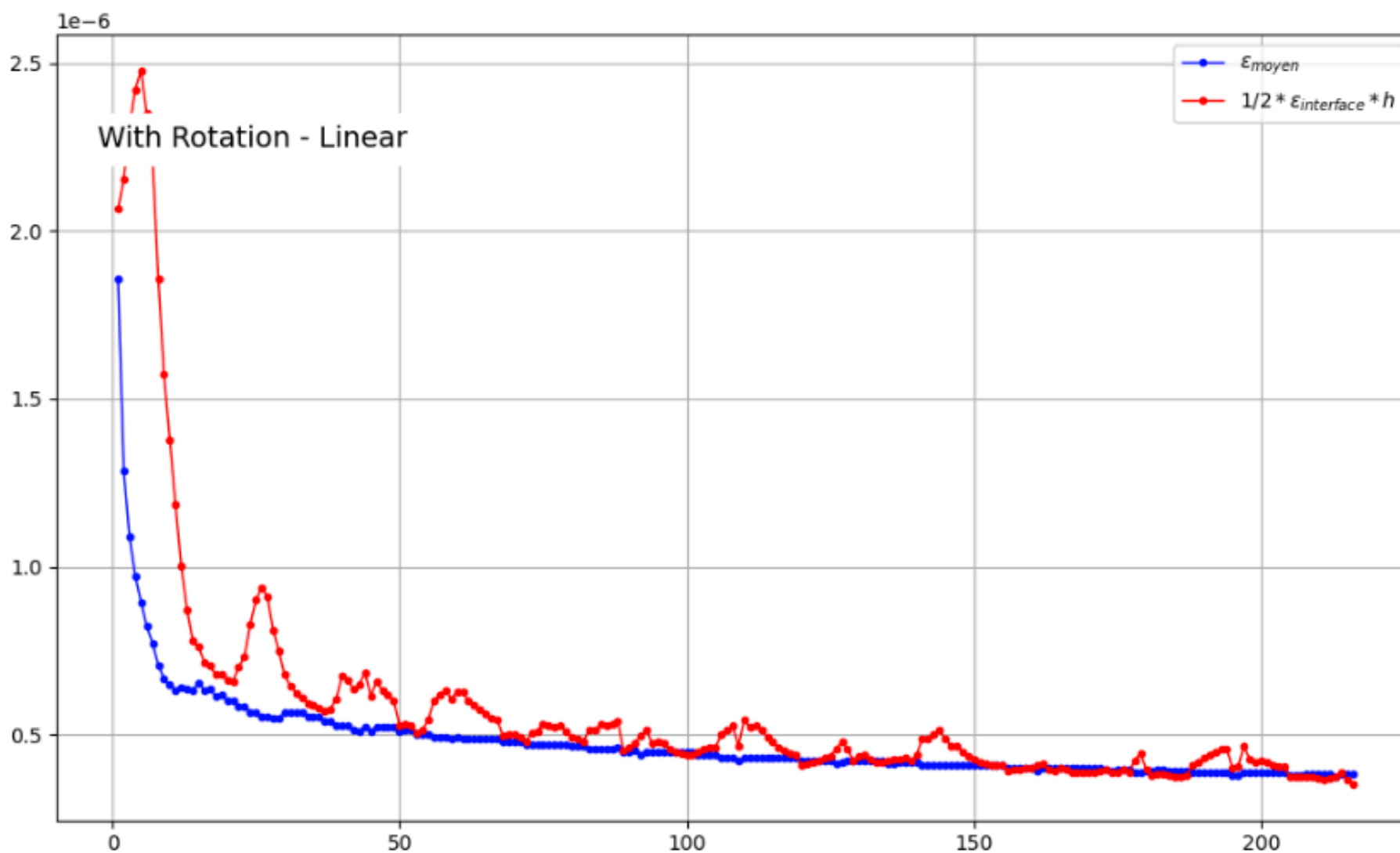
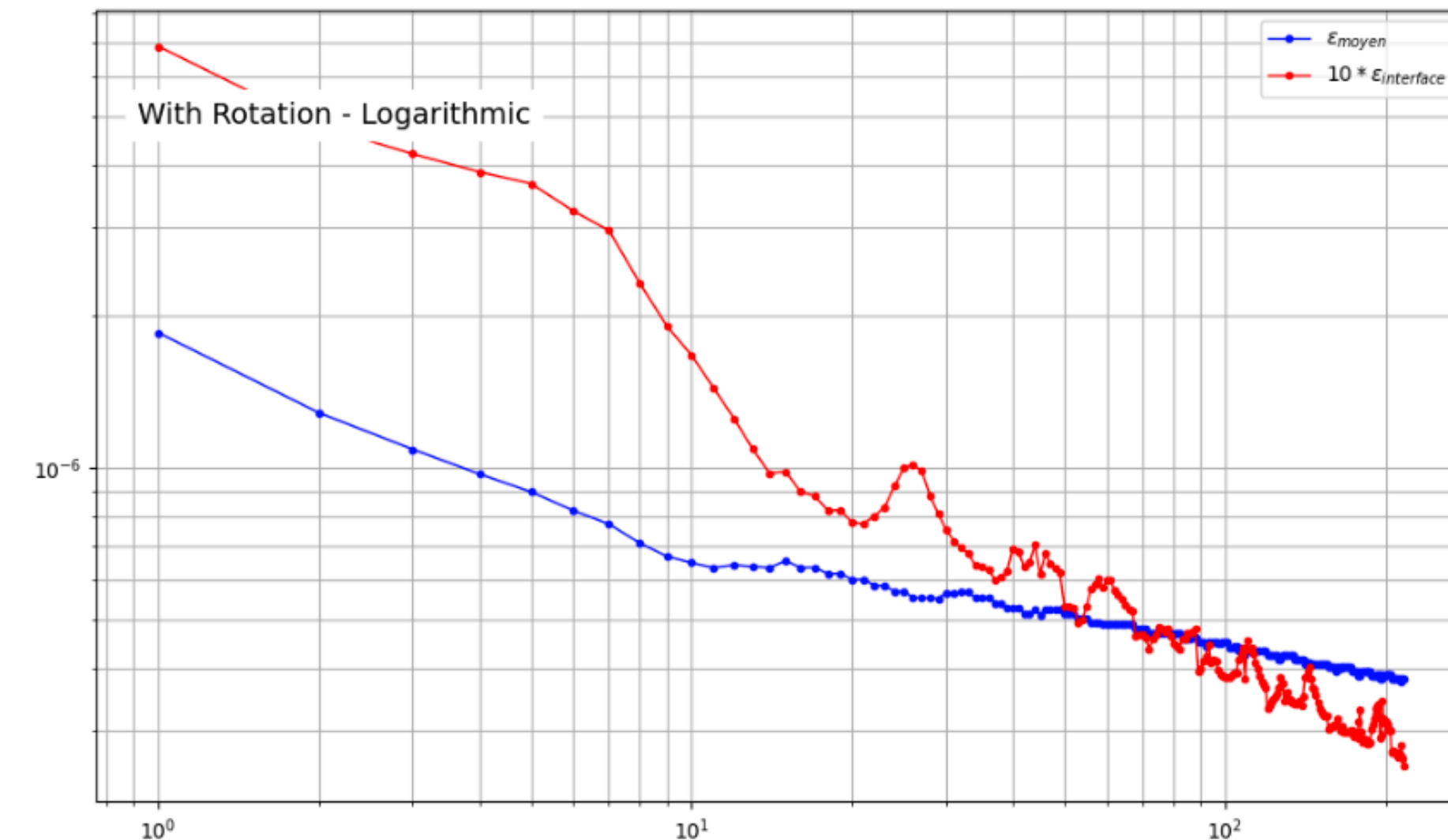
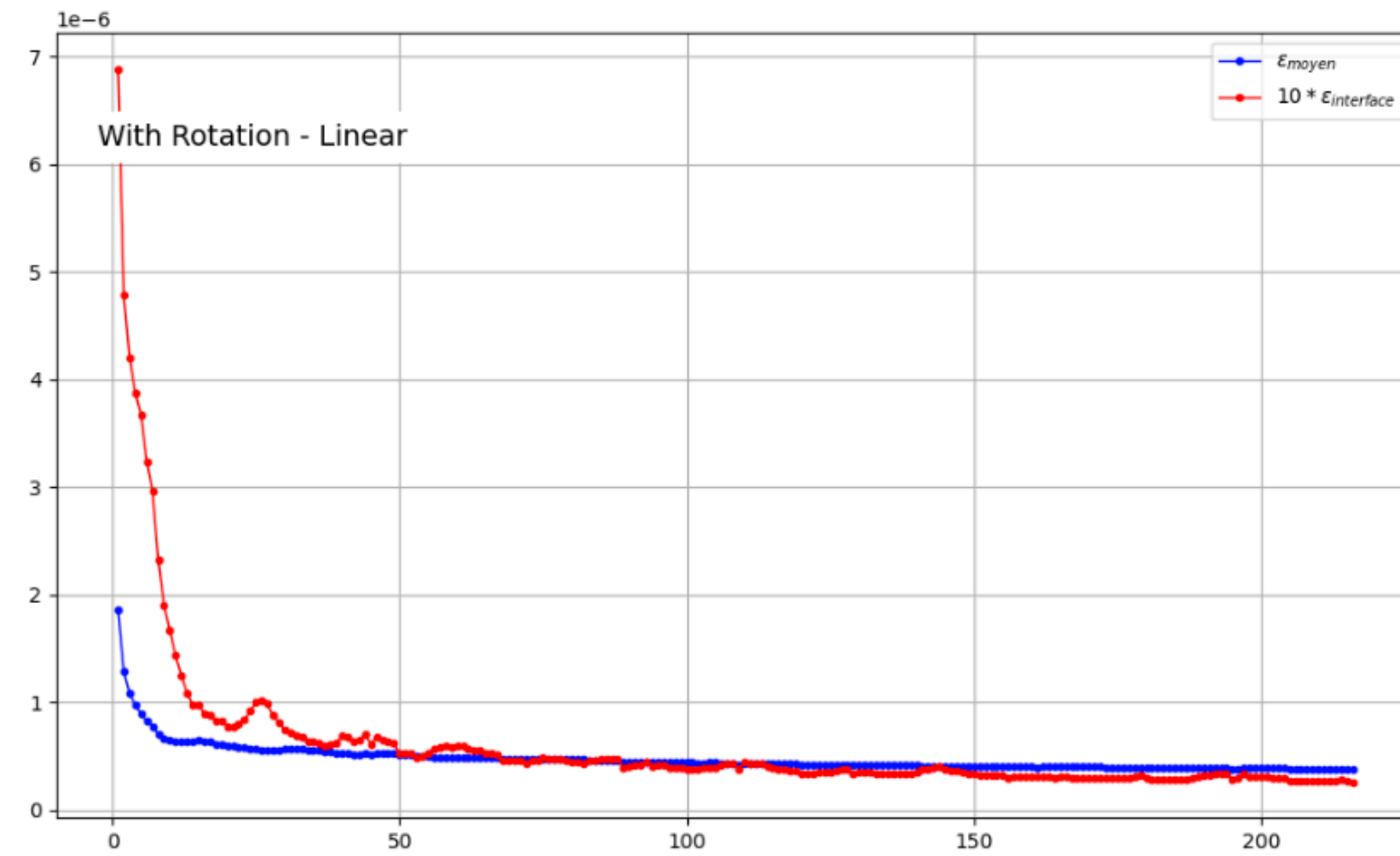
# Hypothèse 2 : $Ep_b \propto h^3 N^2$



**Hypothèse 3 :**  $\frac{dE_{pb}}{dt} = \Gamma \epsilon_{interface} h$



# Relation qui relie $\epsilon_{\text{interface}}$ et $\epsilon_{\text{moyen}}$



# Scaling à rediscuter

$$\epsilon h = c \Leftrightarrow \Gamma \epsilon = \Gamma c h^{-1}$$

$$\Leftrightarrow \frac{dE p_b}{dt} = \Gamma c h^{-1}$$

$$\Leftrightarrow \frac{dh^3}{dt} = \frac{4}{\rho_0 N^2} \Gamma c h^{-1}$$

$$\Leftrightarrow \frac{dh^4}{dt} = \frac{16}{\rho_0 N^2} \Gamma c$$

$$\Leftrightarrow h = \left( \frac{16}{\rho_0 N^2} \Gamma c \right)^{1/4} t^{1/4}$$